

# MAC0210 - Laboratório de Métodos Numéricos

## EP1 - Relatório

### I Parte 1: Método do ponto fixo

#### I.1 Introdução

Na implementação do método do ponto fixo, foram utilizadas três  $g(x)$ , sendo elas:

- $g_1(x) = \ln(2x^2)$ ;
- $g_2(x) = \sqrt{\frac{e^x}{2}}$ ;
- $g_3(x) = -\sqrt{\frac{e^x}{2}}$ .

#### Função $g_1$

Para obter  $g_1$ , foi feita a seguinte manipulação considerando  $f(x) = 0$ :

$$f(x) = e^x - 2x^2$$

$$e^x = 2x^2$$

$$\ln(e^x) = \ln(2x^2)$$

$$x = \ln(2x^2)$$

Como  $g(x)$  é a função que satisfaz  $g(x) = x$ , temos que  $g_1(x) = \ln(2x^2)$ .

**Convergência de  $g_1$** 

Para verificar a convergência de  $g_1$ , foi feito o seguinte cálculo:

$$|g'_1(x)| = \left| \frac{4x}{2x^2} \right| = \frac{2}{|x|}$$

$$|g'_1(x)| < 1 \Leftrightarrow \frac{2}{|x|} < 1 \Leftrightarrow |x| > 2$$

$$|g'_1(x)| > 1 \Leftrightarrow \frac{2}{|x|} > 1 \Leftrightarrow |x| < 2$$

$$|g'_1(x)| = 1 \Leftrightarrow \frac{2}{|x|} = 1 \Leftrightarrow |x| = 2$$

$$\therefore g_1(x) \text{ converge para } x \in (-\infty, -2) \cup (2, \infty)$$

**Funções  $g_2$  e  $g_3$** 

Para obter  $g_2$  e  $g_3$ , foi feita a seguinte manipulação considerando  $f(x) = 0$ :

$$f(x) = e^x - 2x^2$$

$$e^x = 2x^2$$

$$\frac{e^x}{2} = x^2$$

$$\pm \sqrt{\frac{e^x}{2}} = x$$

Como  $g(x)$  é a função que satisfaz  $g(x) = x$ , temos que  $g_2(x) = \sqrt{\frac{e^x}{2}}$  e  $g_3(x) = -\sqrt{\frac{e^x}{2}}$ .

**Convergência de  $g_2$  e  $g_3$** 

Para verificar a convergência de  $g_2$  e  $g_3$ , foi feito o seguinte cálculo:

$$|g'_2(x)| = \left| \frac{e^x}{4\sqrt{\frac{e^x}{2}}} \right|$$

$$|g'_3(x)| = \left| -\frac{e^x}{4\sqrt{\frac{e^x}{2}}} \right|$$

Agora, utilizando a visualização do gráfico de  $|g'_2(x)| = |g'_3(x)|$ ,

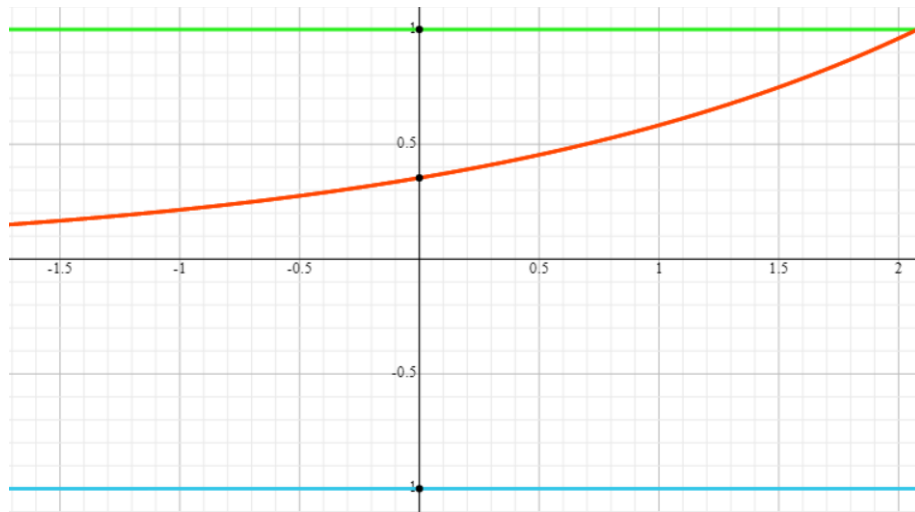


Figura 1: Gráfico de  $|g'_2(x)| = |g'_3(x)|$

podemos ver que  $|g'_2(x)| < 1$  para todo  $x \leq 2$ , logo:

$g_2(x)$  e  $g_3(x)$  convergem para  $x \in (-\infty, 2)$

## I.2 Resultado e análise dos experimentos

*fixed\_point\_ep1* foi compilado com:

```
$ gcc -o fixed_point_ep1 fixed_point_ep1.c -lm
```

e obtemos os seguintes resultados:

**$x_0 = 0$**

```
$ ./fixed_point 0
x_0 = 0.00 nao converge para g1(x)
x*_2 = 1.488
x*_3 = -0.540
```

**$x_0 = 1$**

```
$ ./fixed_point 1
x*_1 = 2.618
x*_2 = 1.488
x*_3 = -0.540
```

**$x_0 = -1$**

```
$ ./fixed_point -1
x*_1 = 2.618
x*_2 = 1.488
x*_3 = -0.540
```

**$x_0 = 12345$**

```
$ ./fixed_point 12345
x*_1 = 2.618
x_0 = 12345.00 nao converge para g2(x)
x*_3 = -0.540
```

**$x_0 = -12345$**

```
$ ./fixed_point -12345
x*_1 = 2.618
x*_2 = 1.488
x*_3 = -0.540
```

## II Parte 2: Método de Newton

### II.1 Introdução

Na implementação do método de Newton, foi utilizado o método do ponto fixo com a  $g(x)$  de Newton para encontrar as raízes para as quais cada um dos pontos no domínio  $[l_1, u_1] \times [l_2, u_2]$  converge.

Como critérios de parada para as iterações do método, foram utilizados:

- **MAXK**: o número máximo de iterações  $k = 45$ ;
- **TOL**: o erro de tolerância  $e^{-20}$ .

Para os casos que as iterações não convergem, os pontos recebem a cor preta, e dessa forma, com cada raiz recebendo uma cor, são formados fractais com as bacias de convergência de  $f(x)$ .

### II.2 Funções e resultados

*newton\_ep1* foi compilado com:

```
$ gcc -o newton_ep1 newton_ep1.c -lm
```

As figuras foram plotadas com os comandos:

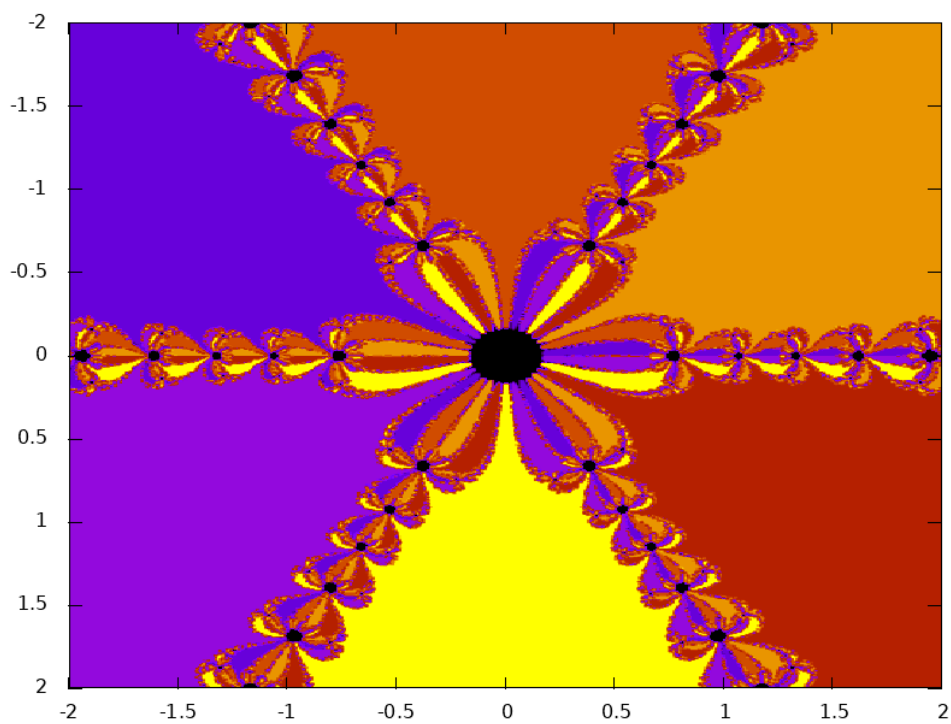
```
$ gnuplot
gnuplot> set terminal png size 950,750
gnuplot> set pm3d map
gnuplot> unset colorbox
gnuplot> set yrange [] reverse
gnuplot> set output 'roots.png'
gnuplot> splot "output.txt" u 2:1:3
```

$$f(x) = x^6 - 1$$

```
$ ./newton_ep1 -2 -2 2 2 633 500
z* = -0.50-0.87i
z* = 0.50-0.87i
z* = 0.50+0.87i
z* = -1.00-0.00i
z* = -0.50+0.87i
z* = 1.00-0.00i
```

A figura gerada está dividida em 6 grandes regiões, cada uma com uma cor diferente, que representam as bacias de convergência de cada uma das raízes de  $f(x)$ .

Os pontos de encontro entre as “pétalas” do fractal são os pontos onde  $f(x)$  não convergiu para uma raiz devido às condições de parada ou pontos nos quais  $f'(x) = 0$ .

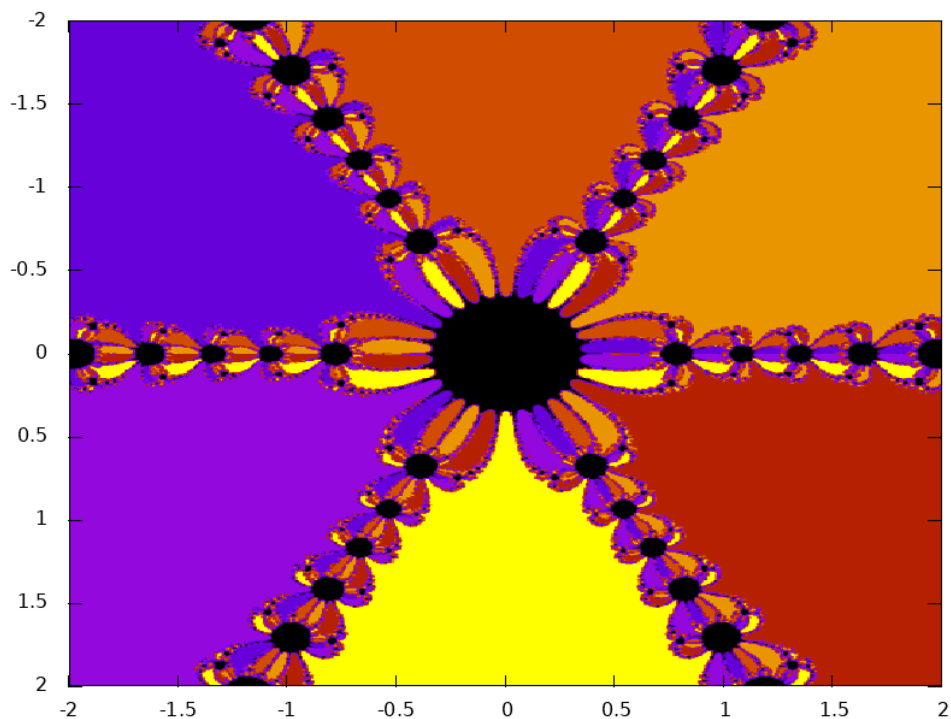


$$*f(x) = x^6 - 1$$

```
$ ./newton_ep1 -2 -2 2 2 633 500  
z* = -0.50-0.87i  
z* = 0.50-0.87i  
z* = 0.50+0.87i  
z* = -1.00-0.00i  
z* = -0.50+0.87i  
z* = 1.00-0.00i
```

\*Desta vez, utilizando **MAXK**= 25.

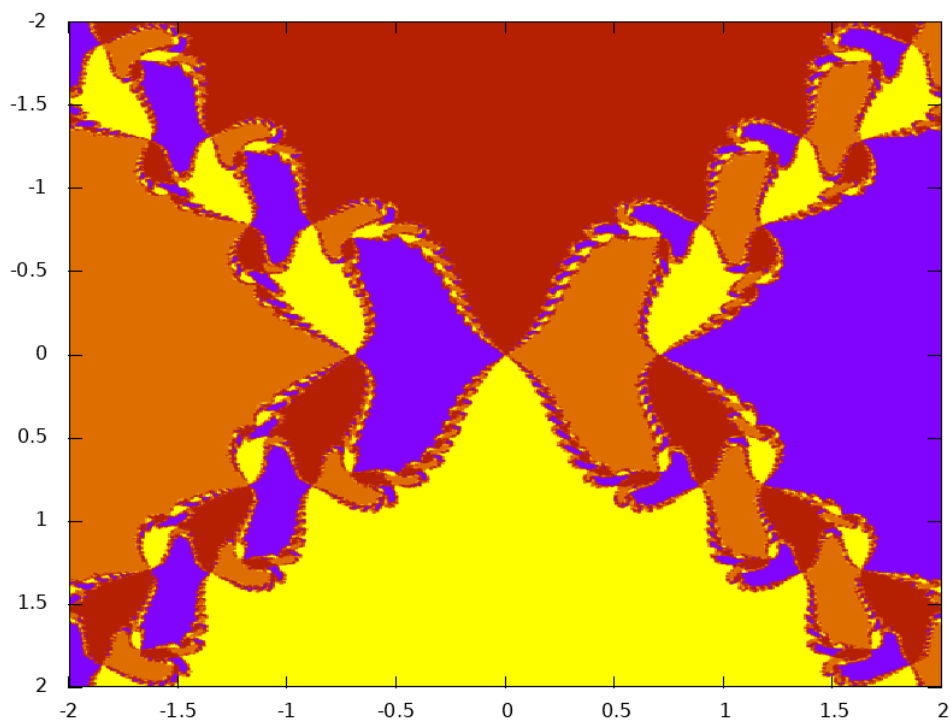
Podemos ver que o fractal gerado é o mesmo, porém com mais pontos que não convergem, aumentando o tamanho das “estrelas pretas” nos encontros das “pétalas”.



$$f(x) = x^4 + x^2 - 6$$

```
$ ./newton_ep1 -2 -2 2 2 633 500  
z* = 0.00+1.73i  
z* = -1.41-0.00i  
z* = 0.00-1.73i  
z* = 1.41-0.00i
```

A função  $x^4$  produziria um fractal com 4 braços (como o exemplo anterior porém com 2 a menos), contudo, podemos ver que a adição de  $x^2$  faz com que os braços sejam “puxados” para o eixo  $x$ .





$$f(x) = x^6 + \frac{2}{x^2} - 11$$

```
$ ./newton_ep1 -15 -15 15 15 633 500  
z* = -0.74-1.31i  
z* = 1.47-0.00i  
z* = -1.47+0.00i  
z* = 0.74-1.31i  
z* = -0.74+1.31i  
z* = 0.43+0.00i  
z* = 0.74+1.31i  
z* = -0.43-0.00i
```

Podemos ver que a utilização de um domínio maior faz com que o fractal gerado seja ampliado.

